



FAG

22216-E1-XL-K-H40-C2

Rodamiento oscilante de rodillos

Rodamiento oscilante de rodillos 222...-E1-XL-K-H40, simétrico con anillo para el guiado de la jaula

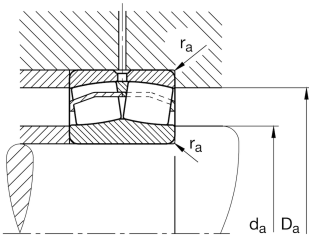
X-life

Información técnica



Variante de su producto actual

Ejecución	E1	Sin borde central
Tipo de agujero	K	Cónico, conicidad 1:12
Jaula	JPA	Jaula de chapa de acero
Juego radial del rodamiento	C2 (Group 2)	Internal clearance smaller than CN
Función de relubricación	H40	Sin ranuras y agujeros de lubricación



Medidas principales y datos de rendimiento

d	80 mm	Diámetro del agujero
D	140 mm	Diámetro exterior
B	33 mm	Anchura
C_r	250.000 N	Capacidad de carga dinámica, radial
C_{0r}	270.000 N	Capacidad de carga estática, radial
C_{ur}	34.500 N	Límite de carga por fatiga, radial
n_G	6.200 1/min	Velocidad límite de rotación
n_{gr}	3.550 1/min	Velocidad de referencia
m	2,081 kg	Peso



Medidas de montaje

$d_{a \min}$	91 mm	Diámetro mínimo resalte del eje
$d_{a \max}$	94 mm	Diámetro máximo del resalte del eje
$D_{a \max}$	129 mm	Diámetro máximo del resalte del alojamiento
$r_{a \max}$	2 mm	Radio máximo de la ranura
$d_{b \min}$	85 mm	Diámetro mínimo de la cavidad del casquillo
$B_{a \min}$	12 mm	Anchura mínima de la cavidad del casquillo

Medidas

r_{\min}	2 mm	Medidas mínimas del chaflán
D_1	126,8 mm	Diámetro del agujero del anillo exterior
d_2	94,9 mm	Diámetro de la pista de rodadura del anillo interior

Rango de temperatura

T_{\min}	-30 °C	Temperatura mín. de funcionamiento
T_{\max}	200 °C	Temperatura máx. de funcionamiento

Factores de cálculo

e	0,22	Valor límite de F_a/F_r para la aplicabilidad de dif. Valores de los factores X e Y
Y_1	3,14	Factor de carga axial dinámica
Y_2	4,67	Factor de carga axial dinámica
Y_0	3,07	Factor de carga axial estática

Información adicional

H316	Manguito de fijación
AH316	Manguito de desmontaje



Características

-  Carga radial
-  Carga axial en un sentido
-  Carga axial en ambos sentidos
-  Lubricación con grasa
-  Lubricación con aceite
-  No obturado
-  Errores de alineación estáticos
-  Errores de alineación dinámicos